

П.Н. Бибило, П.В. Леончик

Алгоритм построения диаграммы двоичного выбора для системы полностью определенных булевых функций

Предложен алгоритм оптимизации многоуровневых представлений систем ДНФ полностью определенных булевых функций на основе построения диаграмм двоичного выбора. Приведены результаты экспериментального исследования этого алгоритма, используемого в качестве предварительного оптимизационного этапа синтеза комбинационных схем в библиотеках проектирования базовых матричных кристаллов и логических схем, реализуемых в составе *FPGA*.

The algorithm of optimization of multilevel representations of DNF systems of the completely defined Boolean functions based on the construction of binary decision diagrams is suggested. The results of the experimental research of this algorithm which is used as a preliminary optimization stage of the synthesis of combinational circuits in the design library of Gate Arrays and logical circuits implemented in the *FPGA*, are presented.

Запропоновано алгоритм оптимізації багаторівневих представлень систем ДНФ повністю визначених бульових функцій на основі побудови діаграм двійкового вибору. Наведено результати експериментального дослідження цього алгоритму, який використано як попередній оптимізаційний етап синтезу комбінаційних схем у бібліотеках проектування базових матричних кристалів та логічних схем, які реалізуються в складі *FPGA*.

Введение. Синтез комбинационных логических схем традиционно разбивается на два больших этапа: глобальную технологически независимую оптимизацию и технологическое отображение (*technology mapping*). В качестве технологически независимой оптимизации чаще всего применяется совместная либо раздельная минимизация системы булевых функций в классе дизъюнктивных нормальных форм (ДНФ), позволяющая получать оптимизированные двухуровневые (и/или) представления функций. Оптимизированные многоуровневые представления в виде скобочных алгебраических форм функций получаются на основе факторизационных методов оптимизации, а также многократного применения разложения Шеннона – такие представления получили названия бинарных программ [1] или диаграмм двоичного выбора (*BDD – Binary Decision Diagram*) [2]. *BDD* оказались эффективной формой представления функций и получили широкое применение [3–6]. Основная проблема при построении *BDD* – выбор последовательности переменных, по которой ведется разложение Шеннона.

В данной статье предлагается алгоритм построения *BDD* для системы полностью определенных булевых функций. Функции системы задаются в виде ДНФ, особенности алгоритма – «блочный» подход к проведению разложений Шеннона при выбранной последовательности переменных разложения и сочетание различ-

ных эвристик при выборе такой последовательности. Экспериментально исследуется эффективность предложенного алгоритма для синтеза комбинационных схем в базисе элементов отечественных базовых матричных кристаллов (БМК) и структур программируемых логических интегральных схем типа *FPGA* (*Field-Programmable Gate Arrays*).

Диаграмма двоичного выбора (*BDD*)

Разложением Шеннона булевой функции $f(x_1, \dots, x_n)$ по переменной x_i называется представление $f(x_1, \dots, x_n)$ в виде

$$f(x_1, \dots, x_n) = x_i f(x_1, \dots, x_{i-1}, 1, x_{i+1}, \dots, x_n) \vee \\ \vee \bar{x}_i f(x_1, \dots, x_{i-1}, 0, x_{i+1}, \dots, x_n). \quad (1)$$

Функции $f(x_1, \dots, x_{i-1}, 1, x_{i+1}, \dots, x_n)$, $f(x_1, \dots, x_{i-1}, 0, x_{i+1}, \dots, x_n)$ в (1) называются коэффициентами разложения. Они получаются из функции $f(x_1, \dots, x_n)$ подстановкой вместо переменной x_i константы 1 и 0 соответственно. Очевидно, что если коэффициенты равны, то $f(x_1, \dots, x_n) = f(x_1, \dots, x_{i-1}, x_{i+1}, \dots, x_n)$. Переменную x_i называют в этом случае несущественной или фиктивной переменной функции $f(x_1, \dots, x_n)$. Каждый из коэффициентов $f(x_1, \dots, x_{i-1}, 1, x_{i+1}, \dots, x_n)$, $f(x_1, \dots, x_{i-1}, 0, x_{i+1}, \dots, x_n)$ может быть разложен по одной из переменных из множества $\{x_1, \dots,$

$x_{i-1}, x_{i+1}, \dots, x_n\}$. Процесс разложения коэффициентов заканчивается, когда все n переменных будут использованы для разложения. На последнем шаге разложения коэффициенты вырождаются до констант 0, 1.

Под *диаграммой двоичного выбора*, т.е. под *BDD*, понимается граф, задающий разложение Шеннона булевой функции $f(x_1, \dots, x_n)$ по всем ее переменным x_1, \dots, x_n при заданном порядке (перестановке) переменных, по которым проводится разложение. В статье рассматриваются *BDD* для системы функций, при этом перестановки переменных, по которым ведутся разложения, одинаковы для всех функций системы. Пример *BDD* для системы, состоящей из трех функций, приведены на рис. 1. *BDD* содержит три вида вершин:

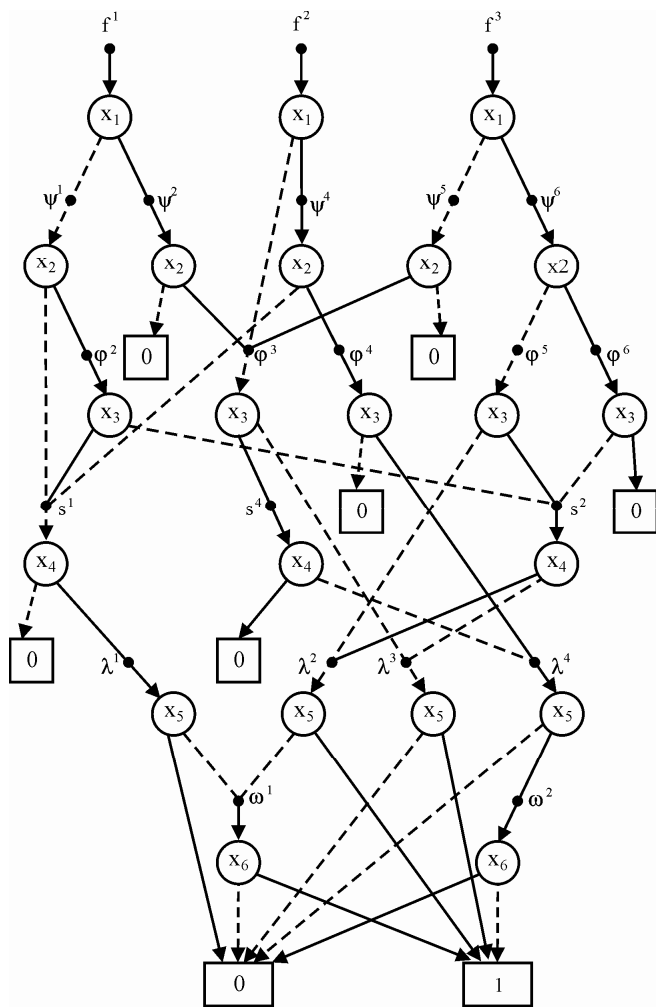


Рис. 1

- *функциональные*, соответствующие разлагаемым функциям (из них три корневые вершины-функции f^1, f^2, f^3);

- *вершины–переменные*, т.е. вершины, соответствующие переменным разложения;

- *листовые*, соответствующие константным (0, 1) значениям функций.

По диаграмме двоичного выбора легко записывается многоуровневое представление булевой функции, так как каждой паре <функциональная вершина, вершина-переменная> соответствует разложение (1) Шеннона некоторой функции, при этом различные разлагаемые функции могут иметь одинаковые коэффициенты разложения.

Примечание. При изображении *BDD* функциональные вершины обычно не показываются, так как предполагается, что всем дугам, ведущим в вершину-переменную, соответствует одна и та же булева функция, разлагаемая по этой переменной.

Под *сложностью* *BDD* понимается число функциональных вершин. Вершины-переменные и листовые вершины не учитываются при подсчете сложности *BDD*.

Алгоритм построения *BDD* для системы функций

Постановка задачи

Задана система $F(x_1, \dots, x_n) = (f^1(x_1, \dots, x_n), \dots, f^m(x_1, \dots, x_n))$ ДНФ полностью определенных булевых функций. Требуется построить *BDD* минимальной сложности для системы F функций.

Решение задачи традиционно разбивается на два этапа.

Этап 1. Выбор последовательности (перестановки) переменных x_1, \dots, x_n , по которой ведется разложение Шеннона.

Этап 2. Построение *BDD* по заданной перестановке переменных разложения.

Опишем сначала алгоритм этапа 2 – построение *BDD* системы $F(x_1, \dots, x_n) = (f^1(x_1, \dots, x_n), \dots, f^m(x_1, \dots, x_n))$ при заданной перестановке множества $X = \{x_1, \dots, x_n\}$ переменных. Основная

идея алгоритма заключается в том, что переменные разложения группируются в блоки, разложение ведется по всем переменным очередного блока без сравнения коэффициентов, сравнение коэффициентов на равенство осуществляется тогда, когда проведено разложение по последней переменной блока. При этом сравнение коэффициентов сначала проводится «грубо» (два коэффициента считаются равными, если они заданы на одном и том же множестве элементарных конъюнкций). Окончательное сравнение коэффициентов на равенство осуществляется при «обратном проходе».

Алгоритм этапа 2 состоит из следующих шагов:

Шаг 1. Разбиение множества X на попарно непересекающиеся блоки (подмножества) Y^1, Y^2, \dots, Y^q .

1.1. Если $n > 20$, то разбиваем X на q блоков Y^1, Y^2, \dots, Y^q , таких, что $|Y^i| = 3$, $i = 2, 3, \dots, q$, где $|Y^i|$ – мощность блока Y^i , а $|Y^1| \leq 5$.

1.2. Если же $n \leq 20$, то разбиение переменных на блоки осуществляется следующим образом. Пусть k – число различных элементарных конъюнкций, входящих в ДНФ всех функций системы F . Если $3k < 2^n$, то разбиваем X на два блока Y^1, Y^2 , причем $|Y^1| = n - 3$, $|Y^2| = 3$. Если $3k > 2^n$, то разбиение на блоки осуществляется так же, как и в п.1.1.

Шаг 2 (итерационный). Построение коэффициентов разложения Шеннона для функций системы F по переменным блока Y^i ($i = 1, 2, \dots, q - 1$) и сравнение их на равенство.

Сравниваемые коэффициенты разложения функций системы F задаются в виде ДНФ на «остатках» исходных элементарных конъюнкций. Из ДНФ, представляющих коэффициенты, удаляются поглощаемые конъюнкции. Затем строится общий список всех конъюнкций (троичных векторов), на которых заданы все коэффициенты, и каждая ДНФ задается множеством номеров из общего списка. Если имеется троичный вектор, состоящий только из неопределенных элементов «–», то все ДНФ, в

которые он попадает, полагаются равными единице. Это приближенная проверка на равенство единице рассматриваемой ДНФ, так как очевидно, что покрыть все булево пространство может не только один вектор $(-, \dots, -)$, такое покрытие может осуществить несколько троичных векторов, состоящих как из неопределенных, так и определенных (0,1) компонент. После того, как все ДНФ заданы на общем списке конъюнкций, осуществляется проверка ДНФ на равенство – именно эта процедура позволяет сократить число функциональных вершин BDD. Если множества номеров конъюнкций двух ДНФ имеют неравную мощность, то такие ДНФ не сравниваются. Сравнение ДНФ, заданных на равномощных множествах номеров конъюнкций, сводится к проверке равенства множеств номеров: ДНФ считаются равными, если они заданы на одном и том же множестве номеров. Естественно, такой способ сравнения ДНФ приближенный, так как некоторые ДНФ могут быть равными, но состоять из различных подмножеств элементарных конъюнкций. Как уже говорилось, точная проверка коэффициентов на равенство будет сделана позднее.

В результате выполнения шага 2 коэффициенты разложения будут представлять собой функции $f(Y^q)$, зависящие от трех переменных, входящих в блок Y^q .

Шаг 3. Построение коэффициентов разложения Шеннона по переменным блока Y^q и точное сравнение их на равенство. На этом шаге осуществляется представление функций $f(Y^q)$ таблицами истинности, после чего восьмикомпонентный вектор-столбец значений функции интерпретируется как число, заданное в двоичной системе счисления. Например, вектор 00001001 интерпретируется как число девять. Среди полученных коэффициентов находятся равные (одинаковые) коэффициенты. Так как каждой из $2^{2^3} = 256$ булевых функций, зависящих от трех аргументов, соответствует единственное десятичное число, то сравнение коэффициентов $f(Y^q)$ сводится к проверке равенства чисел, представляющих эти коэффициенты (функции), и осуществляется быстро.

В результате выполнения шага 3 строится BDD , однако в ней могут быть вершины, соответствующие одинаковым коэффициентам.

Шаг 4 (итерационный). Сокращение числа вершин BDD , соответствующих переменным блоков Y^1, Y^2, \dots, Y^{q-1} , начиная с переменных блока Y^{q-1} . Переменные блоков Y^1, Y^2, \dots, Y^{q-1} рассматриваются в порядке, обратном порядку разложения. Проверка на равенство коэффициентов $s^1(x_1, \dots, x_j), s^2(x_1, \dots, x_j)$, зависящих от j переменных, сводится к проверке на равенство упорядоченных пар $\langle s_0^1(x_1, \dots, x_{j-1}), s_1^1(x_1, \dots, x_{j-1}) \rangle, \langle s_0^2(x_1, \dots, x_{j-1}), s_1^2(x_1, \dots, x_{j-1}) \rangle$ коэффициентов, зависящих от $j-1$ переменной: если в парах равны компоненты с одинаковыми номерами, т.е. если $s_0^1(x_1, \dots, x_{j-1}) = s_0^2(x_1, \dots, x_{j-1})$ и $s_1^1(x_1, \dots, x_{j-1}) = s_1^2(x_1, \dots, x_{j-1})$, то и коэффициенты $s^1(x_1, \dots, x_j), s^2(x_1, \dots, x_j)$ равны.

Пример. Проиллюстрируем алгоритм на примере системы F , состоящей из трех функций f^1, f^2, f^3 (табл. 1). Пусть последовательность разложения является $\langle x_1, x_2, x_3, x_4, x_5, x_6 \rangle$.

Таблица 1

T^x						B'		
x_1	x_2	x_3	x_4	x_5	x_6	f^1	f^2	f^3
1	1	-	0	1	0	1	0	0
0	-	-	1	0	1	1	0	0
0	-	-	0	1	0	0	1	0
0	-	0	-	1	-	0	1	0
1	1	1	-	1	0	0	1	0
1	0	-	1	0	1	0	1	0
1	0	0	-	-	1	0	0	1
1	0	-	1	-	1	0	0	1
1	-	0	1	-	1	0	0	1
0	1	-	0	1	0	0	0	1
1	0	-	-	1	-	0	0	1
-	1	0	-	1	-	1	0	1

Шаги 1–2. Последовательность переменных разбивается на два блока $Y^1 = \langle x_1, x_2, x_3 \rangle$, $Y^2 = \langle x_4, x_5, x_6 \rangle$. Проведем разложение Шеннона по переменным блока Y^1 , ненулевые коэффициенты разложения, полученные непосредственной подстановкой наборов констант вместо переменных разложения, заданы в табл. 2. Коэффициенты разложения зададим на

множестве p_1, \dots, p_6 различных элементарных конъюнкций, всего получается семь коэффициентов s^1, \dots, s^7 (табл. 3), не считая коэффициента s^0 , равного нулю. После задания коэффициентов (функций) s^i , зависящих от трех переменных x_4, x_5, x_6 , на наборах булева пространства, выясняется, что $s^2 = s^7$, поэтому функция s^7 удаляется из рассмотрения. Начальный вид BDD , полученной после разложения по переменным блока Y^1 и сравнения коэффициентов, показан на рис. 2.

Таблица 2

p_i	$x_4 x_5 x_6$	Коэффициент		Функция
		f_j^i	s^i	
p_1	101	f_{000}^1	s^1	f^1
p_1	101	f_{001}^1	s^1	
p_1, p_3	101 -1-	f_{010}^1	s^2	
p_1	101	f_{011}^1	s^1	
p_2	010	f_{110}^1	s^4	
p_2	010	f_{111}^1	s^4	
p_3	-1-	f_{000}^2	s^3	
p_2	010	f_{001}^2	s^4	f^2
p_3	-1-	f_{010}^2	s^3	
p_2	010	f_{011}^2	s^4	
p_1	101	f_{100}^2	s^1	
p_1	101	f_{101}^2	s^1	
p_6	-10	f_{111}^2	s^5	
p_3	-1-	f_{010}^3	s^3	
p_2	010	f_{011}^3	s^4	f^3
p_3, p_4, p_5	-1- -1- 1-1	f_{100}^3	s^6	
p_3, p_5	-1- 1-1	f_{101}^3	s^7	
p_3, p_5	-1- 1-1	f_{110}^3	s^7	

Шаг 3. Разложения функций s^1, \dots, s^7 по переменным блока $Y^2 = \langle x_4, x_5, x_6 \rangle$. Результаты разложения проиллюстрированы на рис. 3, а соответствующее многоуровневое представление имеет вид:

$$\begin{aligned}
 s^1 &= x_4 \lambda^1; \quad s^2 = \bar{x}_4 \lambda^3 \vee x_4 \lambda^2; \quad s^3 = \bar{x}_4 \lambda^3 \vee x_4 \lambda^3; \\
 s^4 &= \bar{x}_4 \lambda^4; \quad s^5 = \bar{x}_4 \lambda^4 \vee x_4 \lambda^4; \quad s^6 = \bar{x}_4 \lambda^2 \vee x_4 \lambda^2; \\
 \lambda^1 &= \bar{x}_5 \omega^1; \quad \lambda^2 = \bar{x}_5 \omega^1 \vee x_5; \quad \lambda^3 = x_5; \quad \lambda^4 = x_5 \omega^2; \\
 \omega^1 &= x_6; \quad \omega^2 = \bar{x}_6.
 \end{aligned}$$

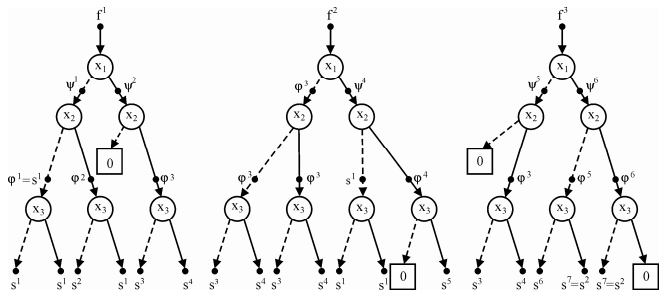


Рис. 2

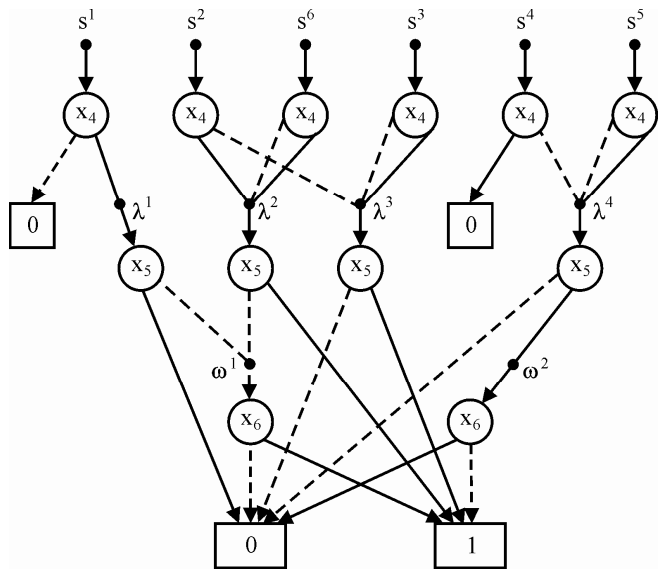


Рис. 3

Т а б л и ц а 3

x_4	x_5	x_6	s^0	s^1	s^2	s^3	s^4	s^5	s^6	$s^7 = s^2$
000	0	0	0	0	0	0	0	0	0	0
001	0	0	0	0	0	0	0	0	1	0
010	0	0	1	1	1	1	1	1	1	1
011	0	0	1	1	0	0	0	1	1	1
100	0	0	0	0	0	0	0	0	0	0
101	0	1	1	0	0	0	0	0	1	1
110	0	0	1	1	0	1	0	1	1	1
111	0	0	1	1	0	0	0	1	1	1
p_i			p_1	p_1, p_3	p_3	p_2	p_6	p_3, p_4, p_5	p_3, p_5	

Шаг 4. Сокращение числа вершин *BDD*.
 Процесс рассмотрения вершин осуществляется от листовых вершин вверх по дереву – к корневым вершинам, помеченным исходными функциями f^1, f^2, f^3 . На рис. 3 показано, что разложение коэффициента (функции) s^6 по переменной x_4 дает два одинаковых коэффициента λ^2 , следовательно, переменная x_4 несущая

щественна для s^6 и потому $s^6 = \lambda^2$. Переменная s^6 исключается из многоуровневого представления функций. Аналогично: $s^3 = \lambda^3$, $s^5 = \lambda^4$, переменные s^3 , s^5 исключаются из многоуровневого представления функций. Каждая различная упорядоченная пара коэффициентов, исходящих из вершины-переменной, задает некоторый коэффициент. Например, пара $\langle s^2, s^1 \rangle$ задает функцию φ^2 , пара $\langle s^3, s^4 \rangle$ – функцию φ^3 и т.д. На рис. 2 показано, что разложение коэффициента (функции) φ^1 по переменной x_3 дает два одинаковых коэффициента s^1 , следовательно, переменная x_3 является несущественной для φ^1 , т.е. $\varphi^1 = s^1$, и переменная φ^1 также исключается из многоуровневого представления функций системы F . Пройдя вверх до корневых вершин и найдя одинаковые коэффициенты, получаем результирующую BDD (рис. 1), которой соответствует результирующее многоуровневое представление функций системы:

$$\begin{aligned}
f^1 &= \overline{x_1}\psi^1 \vee x_1\psi^2; \quad f^2 = \overline{x_1}\phi^3 \vee x_1\psi^4; \\
f^3 &= \overline{x_1}\psi^5 \vee x_1\psi^6; \\
\psi^1 &= \overline{x_2}\phi^1 \vee x_2\phi^2; \quad \psi^2 = x_2\phi^3; \quad \psi^4 = \overline{x_2}s^1 \vee x_2\phi^4; \\
&\quad \psi^5 = x_2\phi^3; \quad \psi^6 = \overline{x_2}\phi^5 \vee x_2\phi^6; \\
\phi^2 &= \overline{x_3}s^2 \vee x_3s^1; \quad \phi^3 = \overline{x_3}s^3 \vee x_3s^4; \quad \phi^4 = x_3s^5; \\
&\quad \phi^5 = \overline{x_3}s^6 \vee x_3s^2; \quad \phi^6 = \overline{x_3}s^2; \\
s^1 &= x_4\lambda^1; \quad s^2 = \overline{x_4}\lambda^3 \vee x_4\lambda^2; \quad s^4 = \overline{x_4}\lambda^4; \\
\lambda^1 &= \overline{x_5}\omega^1; \quad \lambda^2 = \overline{x_5}\omega^1 \vee x_5; \quad \lambda^3 = x_5; \quad \lambda^4 = x_5\omega^2; \\
&\quad \omega^1 = x_6; \quad \omega^2 = \overline{x_6}.
\end{aligned}$$

Алгоритм этапа 1 выбора перестановки аргументов

Данный алгоритм состоит в последовательном применении следующих трех эвристик. Каждая эвристика применяется итерационно до тех пор, пока очередная итерация не даст уменьшения сложности BDD . Для каждой из рассматриваемых промежуточных перестановок подсчитывается сложность BDD .

Эвристика 1 – «перестановка одного аргумента x_i с правым соседом». Исходной является

ся начальная перестановка $\langle x_1, \dots, x_n \rangle$. Аргументы x_1, \dots, x_n рассматриваются поочередно. Сначала аргумент x_1 меняется позицией с правым аргументом x_2 (осуществляется транспозиция элементов перестановки), затем x_1 меняется позицией с правым соседом x_3 и так далее, пока x_1 не окажется на последнем месте. Среди пройденных выбирается лучшая перестановка (лучшей перестановке соответствует BDD меньшей сложности), она является начальной для последующего движения аргумента x_2 , при этом x_2 помещается на первую позицию идвигается путем перестановки с правым соседом на последнюю позицию, опять выбирается лучшая перестановка, являющаяся начальной для движения аргумента x_3 , и так далее, пока не выполнит аналогичное движение аргумент x_n . Поочередное движение всех аргументов составляет одну итерацию применения эвристики 1. Если итерация применения эвристики 1 уменьшает сложность BDD , то выполняется следующая итерация. Если же итерация не приводит к уменьшению сложности BDD , то осуществляется переход к применению эвристики 2.

Эвристика 2 – «попарная перестановка». Берется лучшая перестановка X_{best} , полученная в результате применения эвристики 1. Очередная рассматриваемая перестановка отличается от предыдущей переменой мест только двух аргументов, пока не будет найдена новая лучшая перестановка X_{best1} . Если она найдена, то процесс попарной перестановки повторяется уже для новой лучшей перестановки X_{best1} . Эвристика 2 прекращает работу, если после рассмотрения всех попарных перестановок нет уменьшения сложности BDD .

Эвристика 3 – «оконная перестановка». Исходной является лучшая перестановка X_{best2} , полученная в результате применения эвристики 2. «Окно» представляет собой четыре последовательно расположенных аргумента $\langle x_i, x_{i+1}, x_{i+2}, x_{i+3} \rangle$, внутри которого проводятся все

перестановки четырех аргументов. Затем окно перемещается на один аргумент вправо – получается новое окно $\langle x_{i+1}, x_{i+2}, x_{i+3}, x_{i+4} \rangle$, внутри которого опять осуществляются все перестановки. Сдвиг окна до последней позиции и перебор внутри него всех перестановок свидетельствует об окончании одной итерации применения эвристики 3. Лучшая перестановка – начало для следующей итерации применения эвристики 3.

Если итерация не приводит к уменьшению сложности BDD , то полученная в результате применения эвристики 3 перестановка результирующая для алгоритма этапа 1.

Экспериментальные исследования

Алгоритм построения BDD программно реализован: программа *OPT_BDD*, реализующая алгоритм, подвергнута обширному экспериментальному исследованию.

Эксперимент 1. Предлагаемый на этапе 1 алгоритм поиска лучшей перестановки сравнивался с алгоритмом случайного перебора перестановок на потоке примеров систем F ДНФ – схемы программируемых логических матриц (ПЛМ) из библиотеки *Berkeley PLA Test Set* и четыре схемы (*lal*, *ttt2*, *too_large*, *x1*) многоуровневой логики, преобразованные в ПЛМ. Результаты эксперимента 1 приведены в табл. 4, где (и далее в других таблицах) используются следующие обозначения: n – число переменных; m – число функций; k – число различных элементарных конъюнкций, входящих в ДНФ всех функций системы F ; S_{BDD} – сложность BDD ; α – число перебранных перестановок, знак + свидетельствует о полном переборе всех перестановок; t – время в секундах построения BDD (процессор *Pentium 4* с тактовой частотой 2,8 ГГц). Лучшие решения в табл. 4 (и других таблицах) выделены жирным шрифтом.

Эксперимент 2. Сравнение предложенного алгоритма с алгоритмом из [6]. Результаты эксперимента 2 приведены в табл. 5. Экспериментальные данные (сложность BDD и время), характеризующие программу из [6] и приведенные в табл. 5, взяты из статьи [6].

Таблица 4

Имя схемы	<i>n</i>	<i>m</i>	<i>k</i>	Случайный перебор перестановок			<i>OPT_BDD</i>		
				S_{BDD}	α	<i>t</i> , с	S_{BDD}	α	<i>t</i> , с
<i>add6</i>	12	7	1092	59	5000	276,12	45	907	52,09
<i>b2</i>	16	17	110	620	50000	24746,9	538	1227	177,07
<i>b9</i>	16	5	123	90	10000	1720,2	69	719	37,77
<i>br1</i>	12	8	34	83	15000	156,13	76	436	4,13
<i>br2</i>	12	8	35	73	5000	39,02	71	9763	44,33
<i>dc2</i>	8	7	58	59	40320+	335,78	59	65	0,52
<i>dist</i>	8	5	255	144	40320+	340,57	144	23	0,17
<i>in0</i>	15	11	135	378	5000	466,12	301	467	9,85
<i>in2</i>	19	10	137	299	5000	2761,23	231	4749	663,64
<i>intb</i>	15	7	664	809	1000	1269,74	629	757	240,29
<i>i3</i>	12	8	148	61	10000	142,21	54	187	1,95
<i>tial</i>	14	8	640	728	35000	36115,6	682	3912	1460,55
<i>xparc</i>	41	73	551	2762*	1000	8670,31	1927	2676	600,42
<i>vtx1</i>	27	6	110	230*	1000	1203,73	196	1256	118,11
<i>x6dn</i>	39	5	121	264*	1000	1468,71	238	1431	337,99
<i>x9dn</i>	27	7	120	260*	1000	1319,32	212	642	83,55
<i>signet</i>	39	8	124	2938*	—	—	1500	17945	3197,2
<i>shift</i>	19	16	100	57*	10000	1122,01	50	1067	12,84
<i>soar</i>	83	94	529	956*	1000	50737,84	560	9318	1700,2

* Улучшить начальную перестановку с помощью случайной перестановки аргументов не удалось.

Таблица 5

Имя схемы	<i>n</i>	<i>m</i>	<i>k</i>	Программа [6]		Программа <i>OPT_BDD</i>	
				S_{BDD}	<i>t</i> , с	S_{BDD}	<i>t</i> , с
<i>alu4</i>	14	8	1028	747	21,65	735	20,06
<i>apex2</i>	39	3	1035	739	38,53	333	843,80
<i>apex3</i>	54	50	280	1129	87,23	997	83,37
<i>e64</i>	65	65	65	865	183,80	128	399,19
<i>misex3</i>	14	14	1848	523	22,88	581	142,62
<i>table3</i>	14	14	175	798	40,21	747	11,01
<i>table5</i>	17	15	158	689	28,15	708	8,98

Целью экспериментов 3–5 было сравнение эффективности применения оптимизации *BDD*, выступающей в качестве предварительного этапа синтеза комбинационных схем, реализуемых в составе БМК.

В каждом из этих экспериментов синтезировалась схема в базисе БМК. В качестве системы синтеза использовалась система *Leonardo* [7]. Целевой библиотекой синтеза была выбрана библиотека БМК [7, с. 159], состоящая из 35 элементов. Сложность схемы $S_{БМК}$ в библиотеке проектирования БМК (далее просто схемы БМК) подсчитывается как сумма площадей, входящих в данную схему элементов. В экспериментах 3–8 исходные примеры ПЛМ и оп-

тимизированные представления *BDD* задавались на языке *VHDL*.

Эксперимент 3. Синтез схем БМК по исходным *VHDL*-описаниям схем ПЛМ.

Эксперимент 4. Синтез схем БМК по оптимизированным (с помощью случайного перебора перестановок) представлениям *BDD*.

Эксперимент 5. Синтез схем БМК по оптимизированным с помощью программы *OPT_BDD* представлениям *BDD*.

Результаты экспериментов 3–5 приведены в табл. 6.

Таблица 6

Имя схемы	<i>n</i>	<i>m</i>	<i>k</i>	Эксперимент 3. Синтез схем БМК по исходным ПЛМ		Эксперимент 4. Синтез схем БМК по <i>BDD</i> , случайный перебор перестановок		Эксперимент 5. Синтез схем БМК по <i>BDD</i> , <i>OPT_BDD</i>	
				S_{AiE}	<i>t</i> , с	S_{AiE}	<i>t</i> , с	S_{AiE}	<i>t</i> , с
<i>add6</i>	12	7	1092	4935		167		137	
<i>addm4</i>	9	8	480	3985		1379		846	
<i>b12</i>	15	9	431	192		194		160	
<i>b2</i>	16	17	110	2474		2825		1682	
<i>in0</i>	15	11	135	2067		1411		1036	
<i>in2</i>	19	10	137	1845		1120		711	
<i>m181</i>	15	9	430	192		219		177	
<i>m3</i>	8	16	128	1385		975		562	
<i>mlp4</i>	8	8	225	2564		1069		674	
<i>tial</i>	14	8	640	4505		4030		2389	
<i>z9sym</i>	9	1	420	920		212		161	
<i>intb</i>	15	7	664	5810		5810		2269	
<i>alu1</i>	12	8	19	66		66		66	
<i>in1</i>	16	17	110	2862		2468		1711	
<i>vtx1</i>	27	6	110	175		314		349	
<i>x9dn</i>	27	7	120	198		330		370	
<i>soar</i>	83	94	529	1705		2228		2043	
<i>gary</i>	15	11	442	1119		1287		1046	
<i>max1024</i>	10	6	1024	4048		1255		1307	
<i>lal</i>	26	19	117	280		448		298	
<i>ttt2</i>	24	21	222	466		663		432	
<i>too_large</i>	38	3	1027	5868		—		4415	
<i>x1</i>	51	35	274	801		—		1245	

Цель экспериментов 6–8 – сравнение эффективности применения оптимизации *BDD*, выступающей в качестве предварительного этапа синтеза комбинационных схем, реализуемых в составе *FPGA*.

В качестве целевой микросхемы *FPGA* выбрана микросхема *XC2s100* семейства *SPARTAN2*. Сложность (площадь) полученных логических схем *FPGA* подсчитывалась в числе

программируемых элементов *LUT* (*Look Up Table*), имеющих 4 входа.

Эксперимент 6. Синтез схем *FPGA* по исходным *VHDL*-описаниям схем ПЛМ.

Эксперимент 7. Синтез схем *FPGA* по оптимизированным (с помощью случайного перебора перестановок) представлениям *BDD*.

Эксперимент 8. Синтез схем *FPGA* по оптимизированным с помощью программы *OPT_BDD* представлениям *BDD*.

Таблица 7

Имя схемы	<i>n</i>	<i>m</i>	<i>k</i>	Эксперимент 6. Синтез схем БМК по исходным ПЛМ	Эксперимент 7. Синтез схем БМК по <i>BDD</i> , случайный перебор перестановок	Эксперимент 8. Синтез схем БМК по <i>BDD</i> , <i>OPT_BDD</i>
				<i>LUT</i>	<i>LUT</i>	<i>LUT</i>
<i>add6</i>	12	7	1092	66	19	14
<i>addm4</i>	9	8	480	95	114	151
<i>b12</i>	15	9	431	25	24	23
<i>b2</i>	16	17	110	476	381	318
<i>in0</i>	15	11	135	141	141	195
<i>in2</i>	19	10	137	186	191	125
<i>m181</i>	15	9	430	25	25	26
<i>m3</i>	8	16	128	69	69	111
<i>mlp4</i>	8	8	225	68	76	123
<i>tial</i>	14	8	640	652	452	478
<i>z9sym</i>	9	1	420	76	18	19
<i>intb</i>	15	7	664	423	423	391
<i>alu1</i>	12	8	19	8	8	8
<i>in1</i>	16	17	110	392	468	297
<i>vtx1</i>	27	6	110	28	53	99
<i>x9dn</i>	27	7	120	31	53	90
<i>soar</i>	83	94	529	312	384	347
<i>gary</i>	15	11	442	197	263	191
<i>max1024</i>	10	6	1024	676	255	254
<i>lal</i>	26	19	117	53	81	55
<i>ttt2</i>	24	21	222	78	103	72
<i>too large</i>	38	3	1027	1152	—	847
<i>x1</i>	51	35	274	146	—	213

Обсуждение результатов экспериментов

Экспериментальные исследования показали, что предложенный алгоритм эффективен, конкурентоспособен с известным алгоритмом и пригоден для практического использования. Применение оптимизации многоуровневых представлений систем полностью определенных булевых функций с помощью *BDD* полезно (при-

водит к сокращению сложностей схем) при синтезе в базисе БМК. Однако применение *BDD* в качестве предварительного этапа оптимизации схем *FPGA* оказалось полезным только в половине примеров схем. Случайный поиск перестановок аргументов оказывается в общем случае неэффективным (в сравнении с предложенным алгоритмом поиска порядка переменных разложения) как для оптимизации схем БМК, так и для оптимизации схем *FPGA*.

Заключение. В статье описан алгоритм оптимизации многоуровневых представлений систем полностью определенных булевых функций и результаты экспериментального исследования. Эксперименты показали достаточно высокую эффективность предложенного алгоритма. Программа *OPT_BDD*, реализующая алгоритм построения *BDD*, включена в систему *Micel* [8] схемной реализации параллельных алгоритмов логического управления.

1. Кузнецов О.П. О программной реализации логических функций и автоматов //Автоматика и телемеханика. – 1977. – № 7. – С. 63 – 74; № 9. – С. 138 – 149.
2. Akers S.B. Binary Decision Diagrams // IEEE Trans. on Computers. – 1978. – С-27, № 6. – Р. 509–516.
3. Bryant R.E. Graph-based algorithms for boolean functions manipulation. // Ibid. – 1986. – С-35, № 8. – Р. 677–691.
4. Bryant R.E., Meinel C. Ordered Binary Decision Diagrams // Logic synthesis and verification (Ed. by S. Hassoun, T. Sasao, R.K. Brayton). Kluwer Acad. Publ., 2002. – Р. 285–307.
5. Meinel C., Theobald T. Algorithms and Data Structures in VLSI Design: OBDD – Found. and Appl. – Berlin, Heidelberg: Springer-Verlag, 1998. – 267 p.
6. Dynamic variable reordering for BDD minimization / E. Felt, G. York, R. Brayton et al. // Proc. EURO-DAC, 1993, 20–24 Sep. – Р. 130–135.
7. Бибило П.Н. Синтез логических схем с использованием языка *VHDL* – М.: Солон-Р, 2002. – 384 с.
8. Программный комплекс *Micel* высокогоуровневого и логического синтеза параллельных алгоритмов логического управления / П.Н. Бибило, С.Н. Кардаш, Н.А. Кириенко и др. // УСиМ. – 2009. – № 5. – С. 81–88.

Поступила 30.04.2009

Тел. для справок: + 375 (17) 284-2084 (Минск)

E-mail: bibilo@newman.bas-net.by

© П.Н. Бибило, П.В. Леончик, 2009